

Удаление невидимых граней

Компьютерная графика

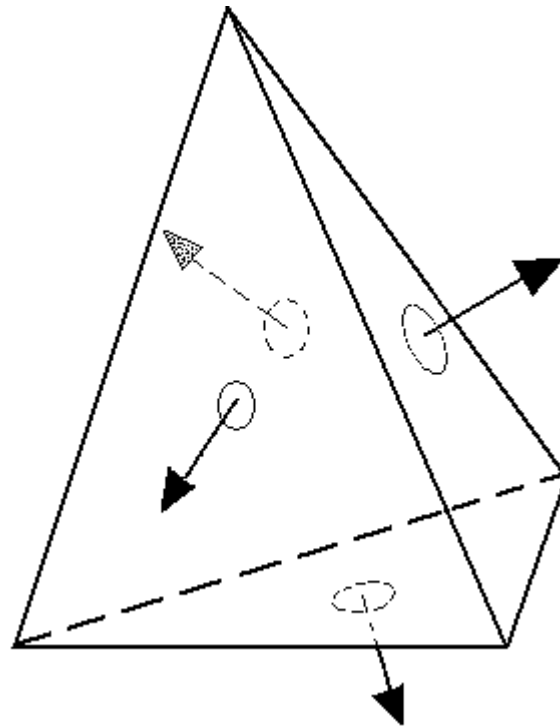
Каркасные модели

- В 1960 году впервые были использованы формулы для преобразования 3d координат в 2d координаты в качестве основы для визуализации.
- Использовал их Уильям Феттер (William Fetter), который заодно придумал еще и термин "компьютерная графика". С помощью его программы можно было рисовать 3d объекты из линий (проволочные или каркасные модели).



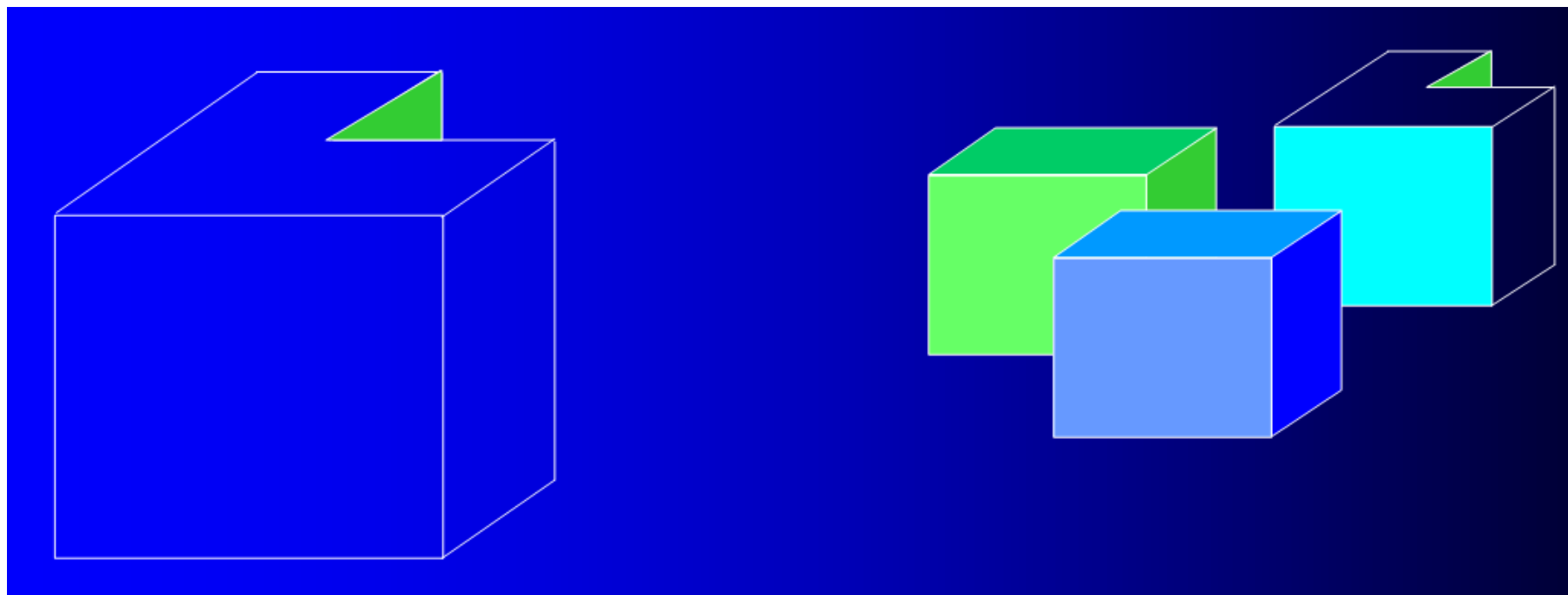
Отсечение нелицевых граней

front-faced



back-faced

Лицевые, но невидимые грани



Классификация алгоритмов

Основные идеи

Алгоритмы 3D

- Оперлируем геом. примитивами, проверяем пересечение объектов друг с другом, в результате – список видимых объектов и их частей.
- Объекты из списка могут отображаться с любой точностью, но вычисления видимых частей – с высокой.
- Сложность алгоритмов зависит от количества объектов: в среднем для n объектов $\rightarrow O(n^2)$

Алгоритмы 2D

- Находим ближ. точки сцены к наблюдателю и для каждого пикселя изображения отображаем только такие точки.
- Точность на уровне разрешения устройства. Не требуется высокой точности вычислений.
- Зависимость сложности алгоритмов от числа пикселей и количества объектов: для s пикселей и n объектов $\rightarrow O(s n)$.

Особенности алгоритмов: вопрос

?D

- Объект анализируется 1 раз.
- Пиксель сцены может перерисовываться несколько раз.

?D

- Пиксель сцены рисуется 1 раз.
- Отношения между объектами для данного пикселя анализируются несколько раз.

Особенности алгоритмов: ответ

2D

- Объект анализируется 1 раз.
- Пиксель сцены может перерисовываться несколько раз.

3D

- Пиксель сцены рисуется 1 раз.
- Отношения между объектами для данного пикселя анализируются несколько раз.

Классификация алгоритмов

Алгоритмы 3D

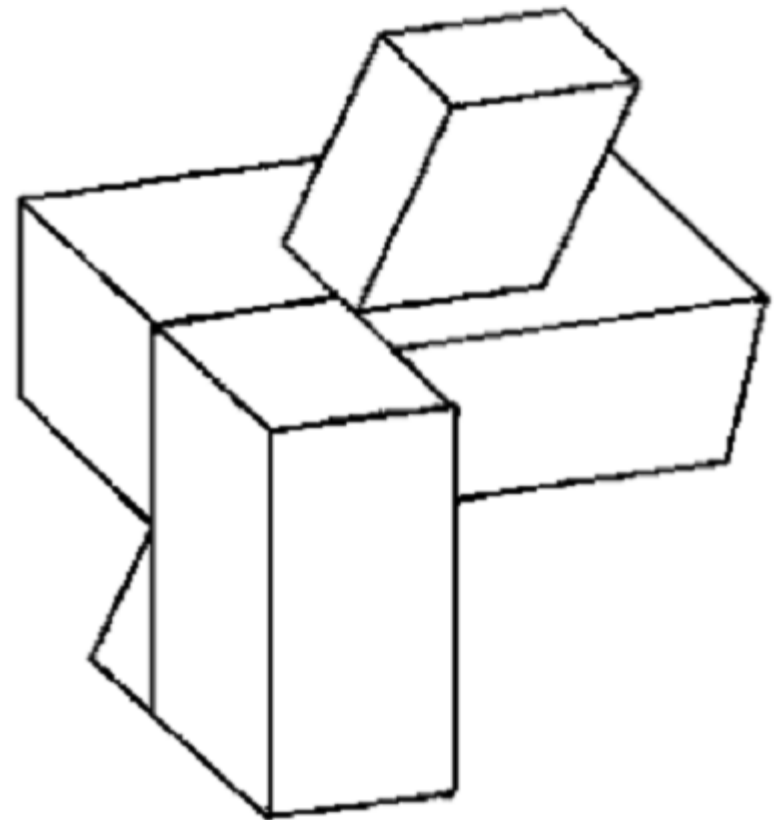
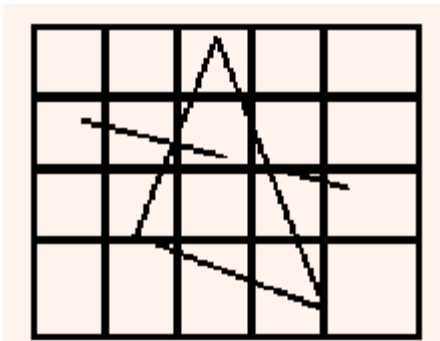
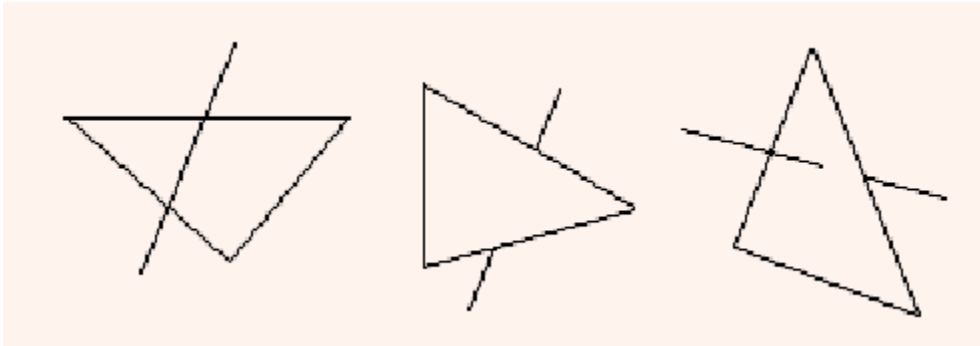
- Робертса (1963)
- Алгоритм Аппеля (1967)
- Вейлера-Айзертсона (1977)
- BSP-деревьев (1969-91)

Алгоритмы 2D

- Построчного сканирования (1967)
- Варнока (1969)
- Трассировки лучей (1968)
- Плавающего горизонта (1972)
- «Художника» + Ньюэла (1972)
- Z-буфера (1974)
- A-буфера (1984)

Алгоритм Робертса

- Лоуренс Робертс (Lawrence Roberts)
- 1963
- $O(n^2)$



Требования к сцене

- В алгоритме Робертса требуется, чтобы все изображаемые тела или объекты были выпуклыми.
- Невыпуклые тела должны быть разбиты на выпуклые части.
- В алгоритме выпуклое многогранное тело с плоскими гранями должно представляться набором пересекающихся плоскостей.

Классификация алгоритмов

Алгоритмы 3D

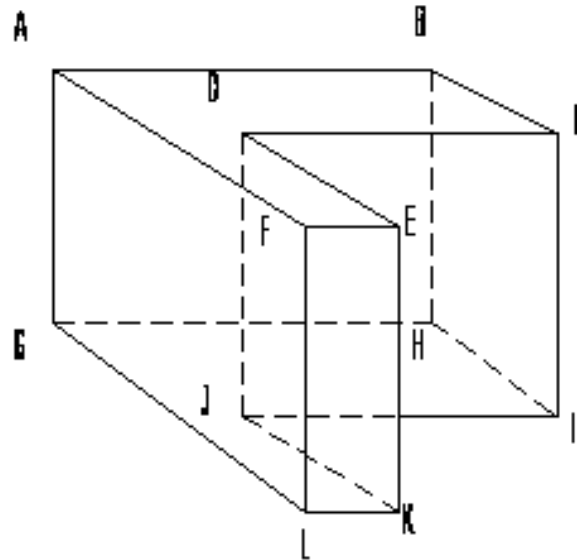
- Робертса (1963)
- Алгоритм Аппеля (1967)
- Вейлера-Айзертонна (1977)
- BSP-деревьев (1969-91)

Алгоритмы 2D

- Построчного сканирования (1967)
- Варнока (1969)
- Трассировки лучей (1968)
- Плавающего горизонта (1972)
- «Художника» + Ньюэла (1972)
- Z-буфера (1974)
- A-буфера (1984)

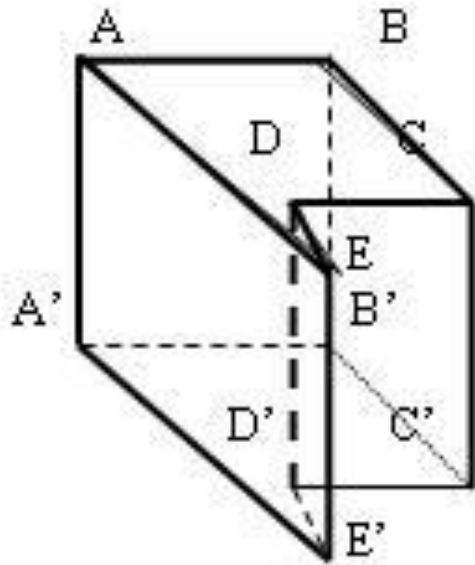
Алгоритм Аппеля

- Артур Аппель (Arthur Appel) 1967 (в то время работал в IBM), создал алгоритм удаления невидимых ребер (в том числе и частично скрытых).



Алгоритм Аппеля

Каждая точка видима только тогда, когда её **количественная невидимость** = 0.



Контурная линия многогранника - есть ломаная из рёбер, для которых одна грань - лицевая, а другая - нелицевая. Например: $ABCC'D'DEE'A'A$

Количественная невидимость точек ребра изменяется, на 1 при прохождении ребра позади контурной линии.

Классификация алгоритмов

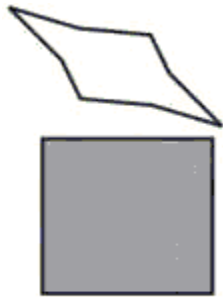
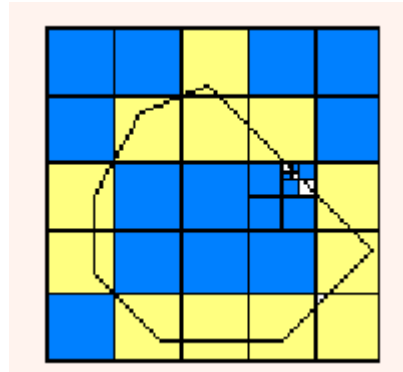
Алгоритмы 3D

- Робертса (1963)
- Алгоритм Аппеля (1967)
- Вейлера-Айзертонна (1977)
- BSP-деревьев (1969-91)

Алгоритмы 2D

- Построчного сканирования (1967)
- Варнока (1969)
- Трассировки лучей (1968)
- Плавающего горизонта (1972)
- «Художника» + Ньюэла (1972)
- Z-буфера (1974)
- A-буфера (1984)

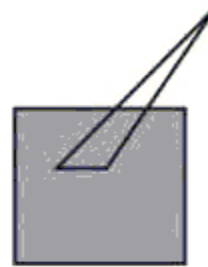
Алгоритм Варнока (1969)



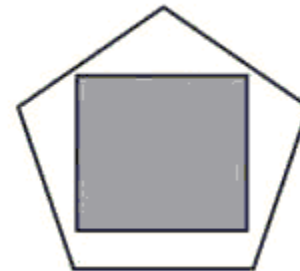
a)



b)



c)



d)

Классификация алгоритмов

Алгоритмы 3D

- Робертса (1963)
- Алгоритм Аппеля (1967)
- Вейлера-Айзертсона (1977)
- BSP-деревьев (1969-91)

Алгоритмы 2D

- Варнока (1969)
- Построчного сканирования (1967)
- Трассировки лучей (1968)
- Плавающего горизонта (1972)
- «Художника» + Ньюэла (1972)
- Z-буфера (1974)
- A-буфера (1984)

Классификация алгоритмов

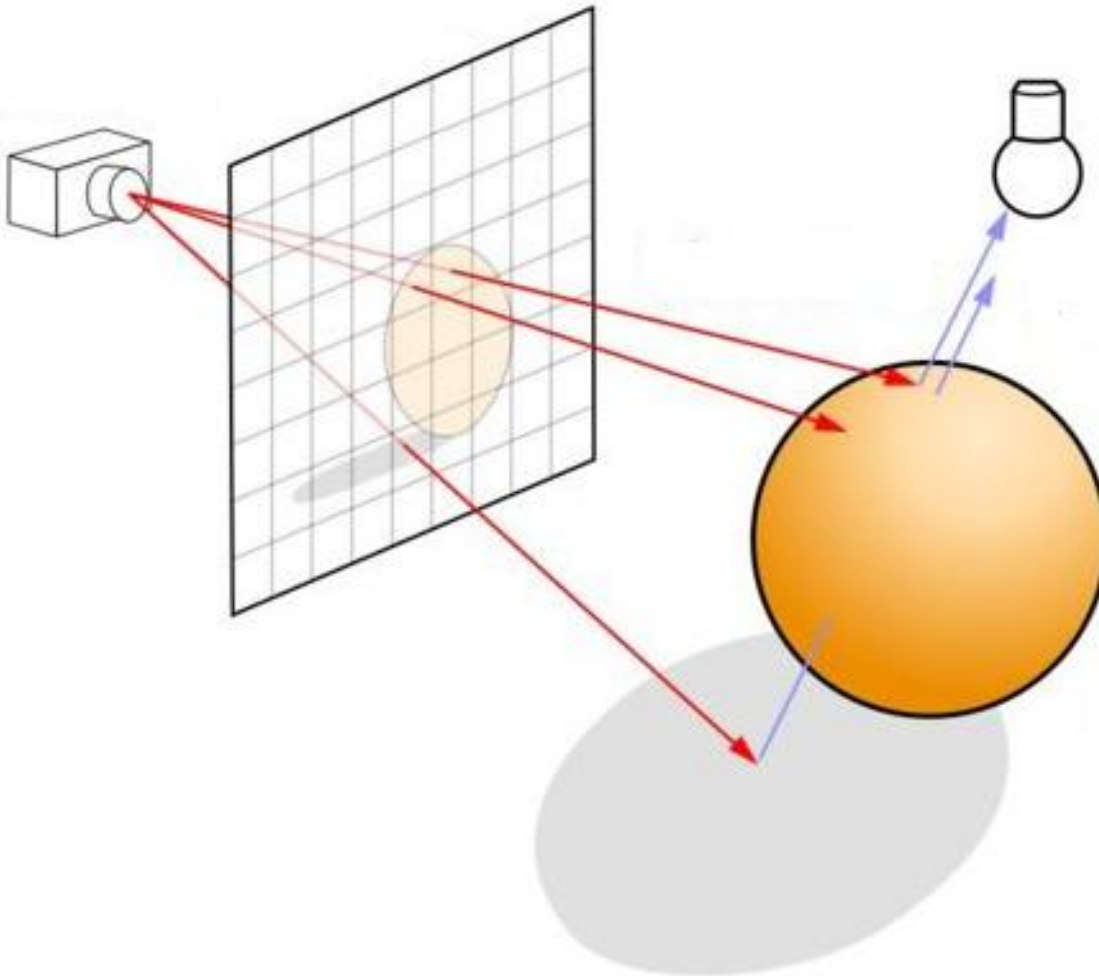
Алгоритмы 3D

- Робертса (1963)
- Алгоритм Аппеля (1967)
- Вейлера-Айзертсона (1977)
- BSP-деревьев (1969-91)

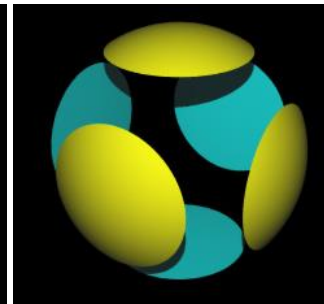
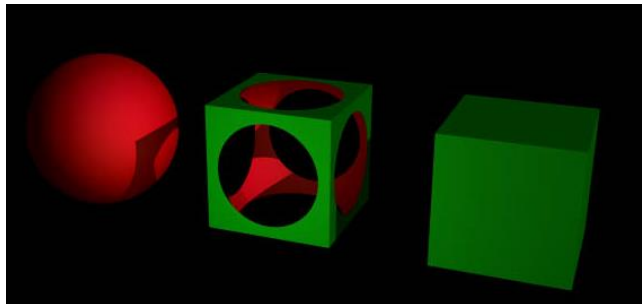
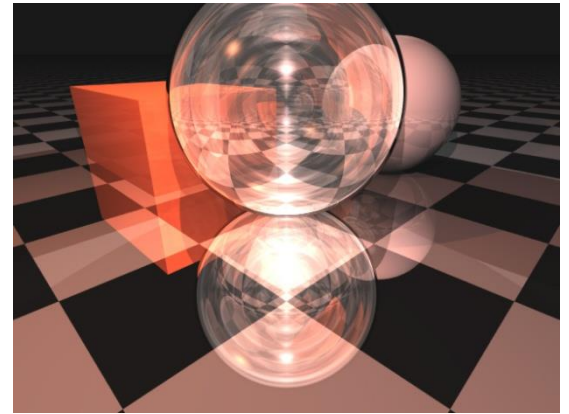
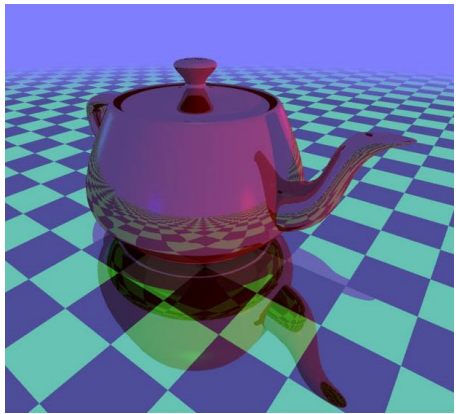
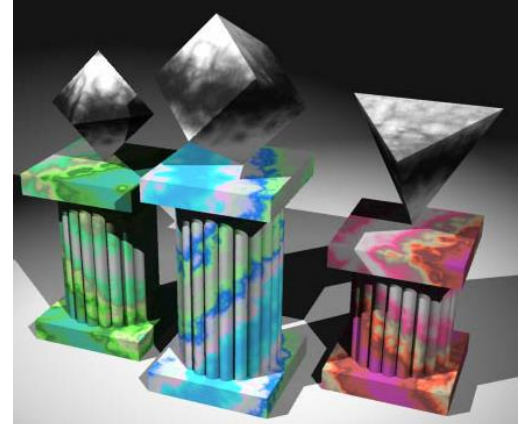
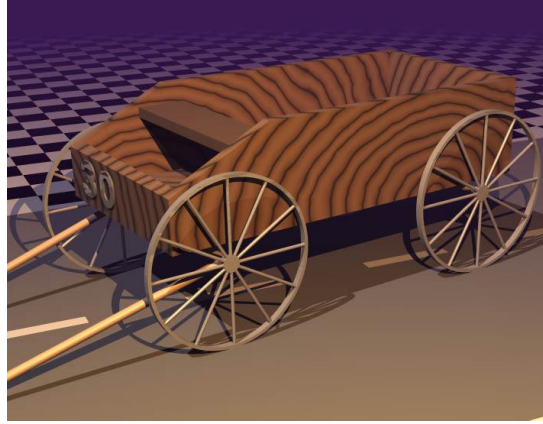
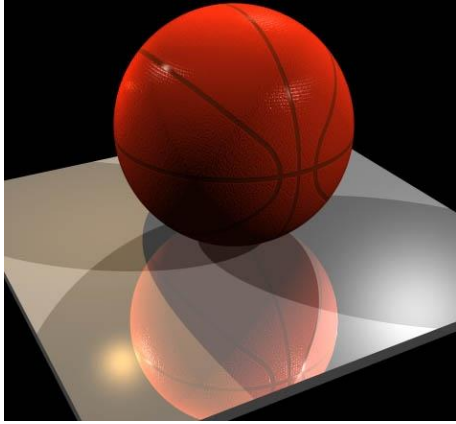
Алгоритмы 2D

- Варнока (1969)
- Построчного сканирования (1967)
- Трассировки лучей (1968)
- Плавающего горизонта (1972)
- «Художника» + Ньюэла (1972)
- Z-буфера (1974)
- A-буфера (1984)

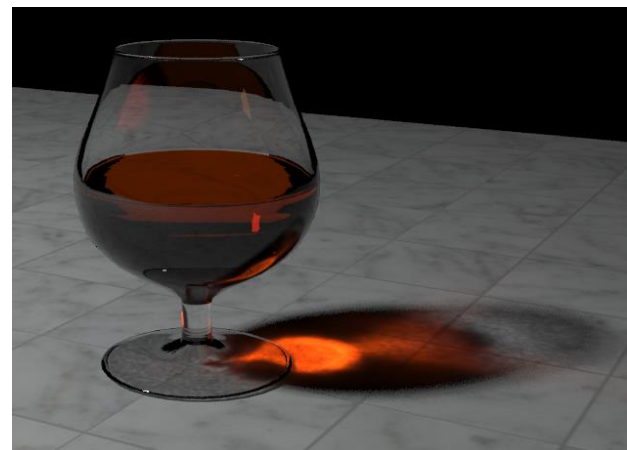
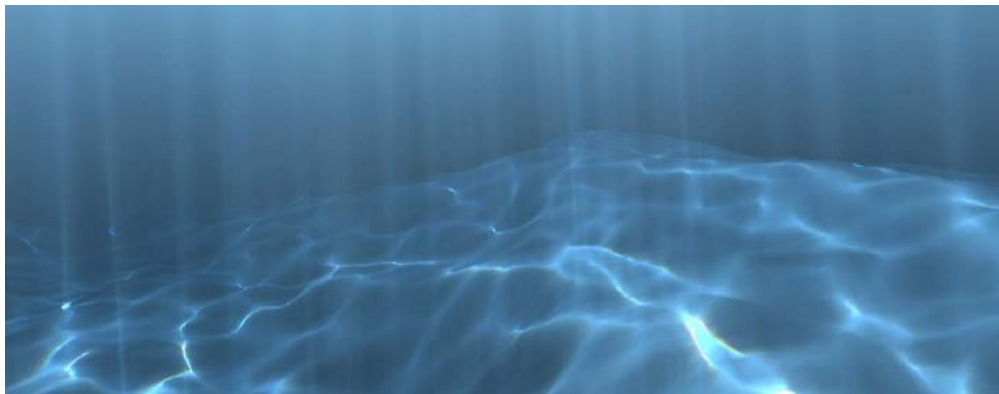
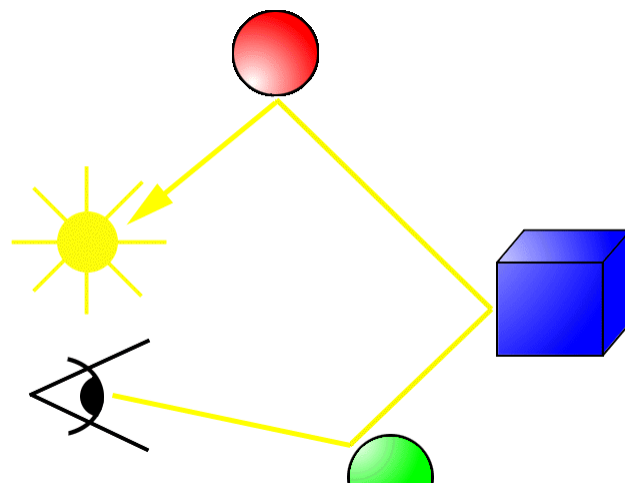
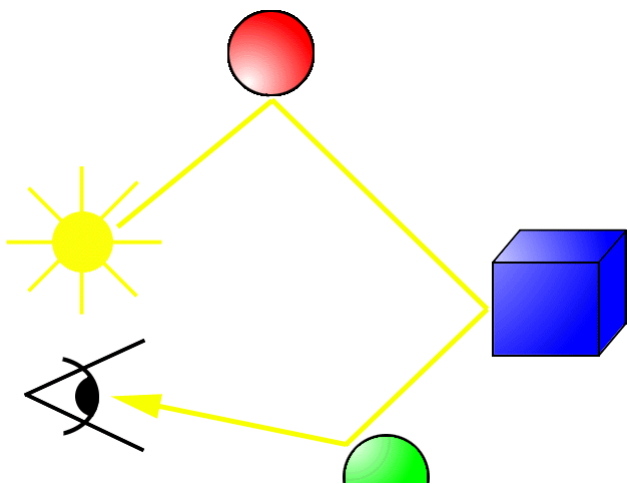
Трассировка лучей. Ray tracing



Ray tracing



Forward vs Backward



Классификация алгоритмов

Алгоритмы 3D

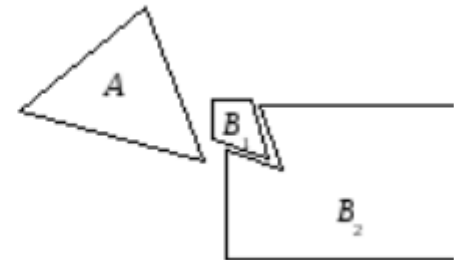
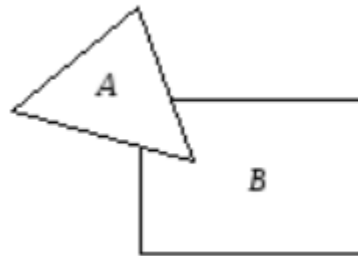
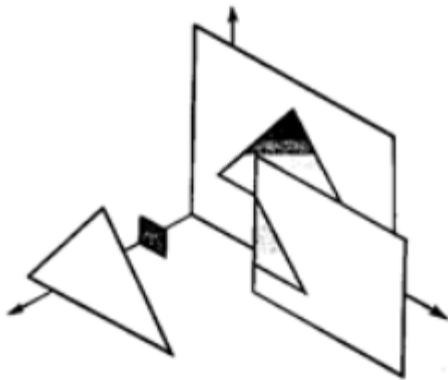
- Робертса (1963)
- Алгоритм Аппеля (1967)
- Вейлера-Айзертонна (1977)
- BSP-деревьев (1969-91)

Алгоритмы 2D

- Построчного сканирования (1967)
- Варнока (1969)
- Трассировки лучей (1968)
- Плавающего горизонта (1972)
- «Художника» + Ньюэла (1972)
- Z-буфера (1974)
- A-буфера (1984)

Алгоритм Вейлера-Азертона

- Предварительная сортировка по глубине.
- Отсечение по границе ближайшего к точке наблюдения многоугольника.
- Удаление многоугольников, экранируемых более близкими к точке наблюдения многоугольниками.
- Если требуется, то рекурсивное разбиение и новая сортировка.



Классификация алгоритмов

Алгоритмы 3D

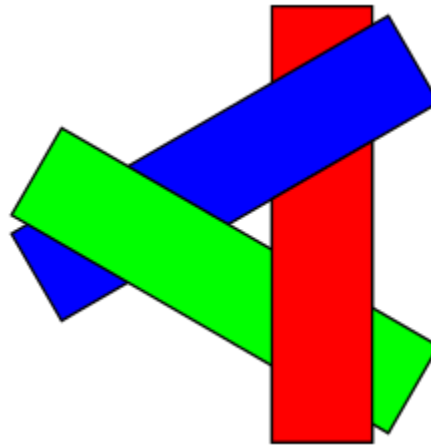
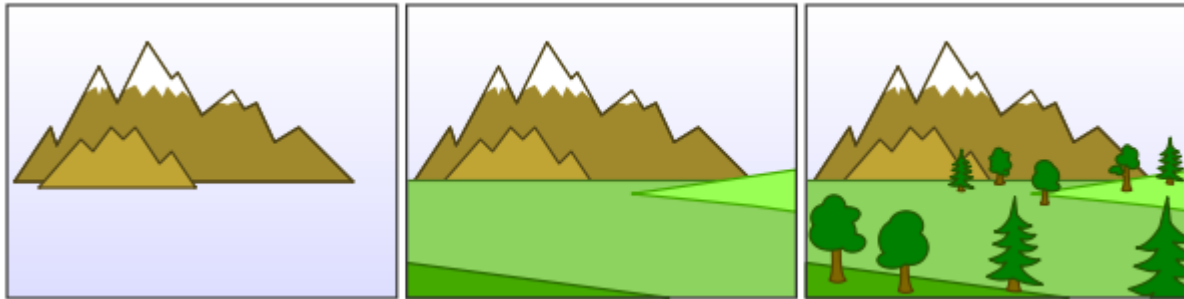
- Робертса (1963)
- Алгоритм Аппеля (1967)
- Вейлера-Айзертонна (1977)
- BSP-деревьев (1969-91)

Алгоритмы 2D

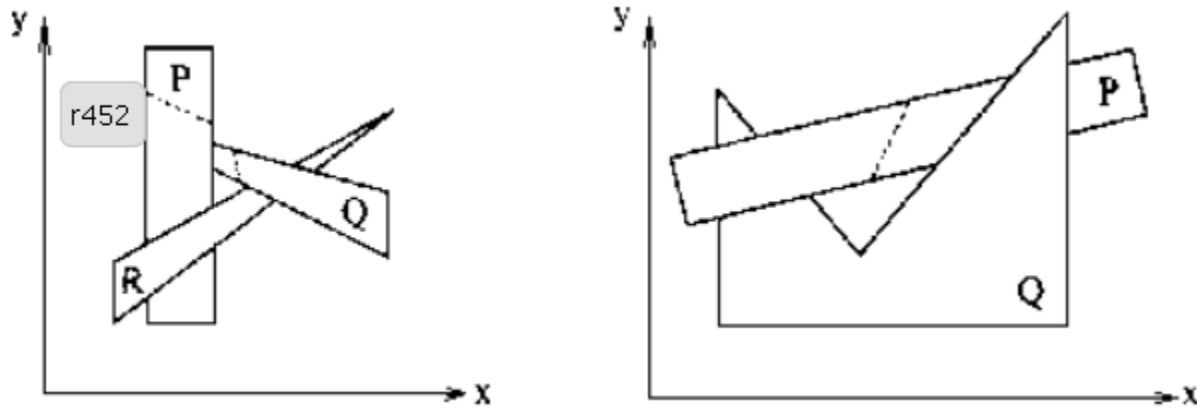
- Построчного сканирования (1967)
- Варнока (1969)
- Трассировки лучей (1968)
- Плавающего горизонта (1972)
- «Художника» + Ньюэла(1972)
- Z-буфера (1974)
- A-буфера (1984)

Алгоритм художника + Ньюэла (1972)

Алгоритм Ньюэла-Ньюэла-Санча



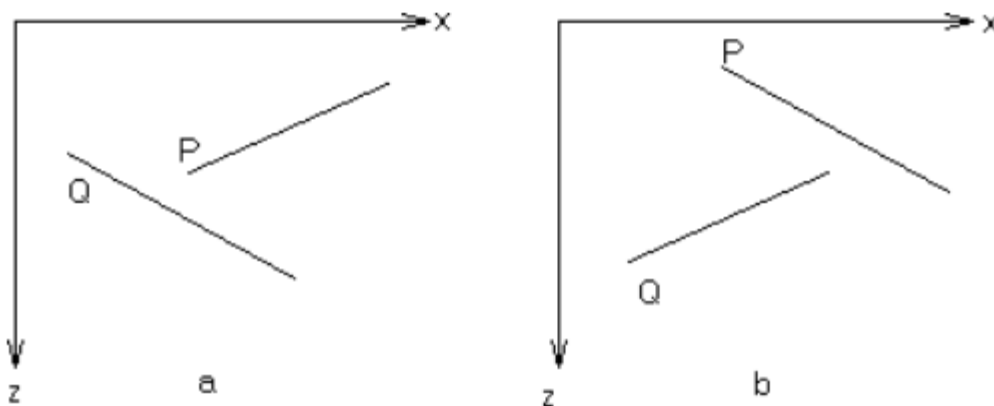
Алгоритм Ньюэла-Ньюэла-Санча



Тесты для перекрывающихся многоугольников

- Верно ли, что прямоугольные объемлющие оболочки P и Q не перекрываются по x ?
- Верно ли, что прямоугольные оболочки P и Q не перекрываются по y ?
- Верно ли, что P целиком лежит по ту сторону плоскости, несущей Q , которая расположена дальше от точки наблюдения?
- Верно ли, что Q целиком лежит по ту сторону плоскости, несущей P , которая ближе к точке наблюдения?
- Верно ли, что проекции P и Q не перекрываются?

Каждый из этих тестов применяется к каждому элементу $\{Q\}$. Если ни один из них не дает положительного ответа, то P может закрывать Q .



Классификация алгоритмов

Алгоритмы 3D

- Робертса (1963)
- Алгоритм Аппеля (1967)
- Вейлера-Айзертсона (1977)
- BSP-деревьев (1969-91)

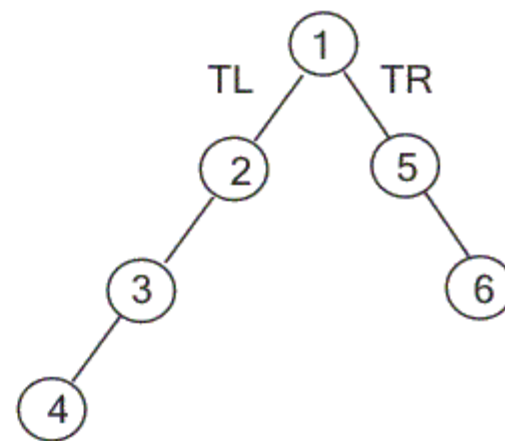
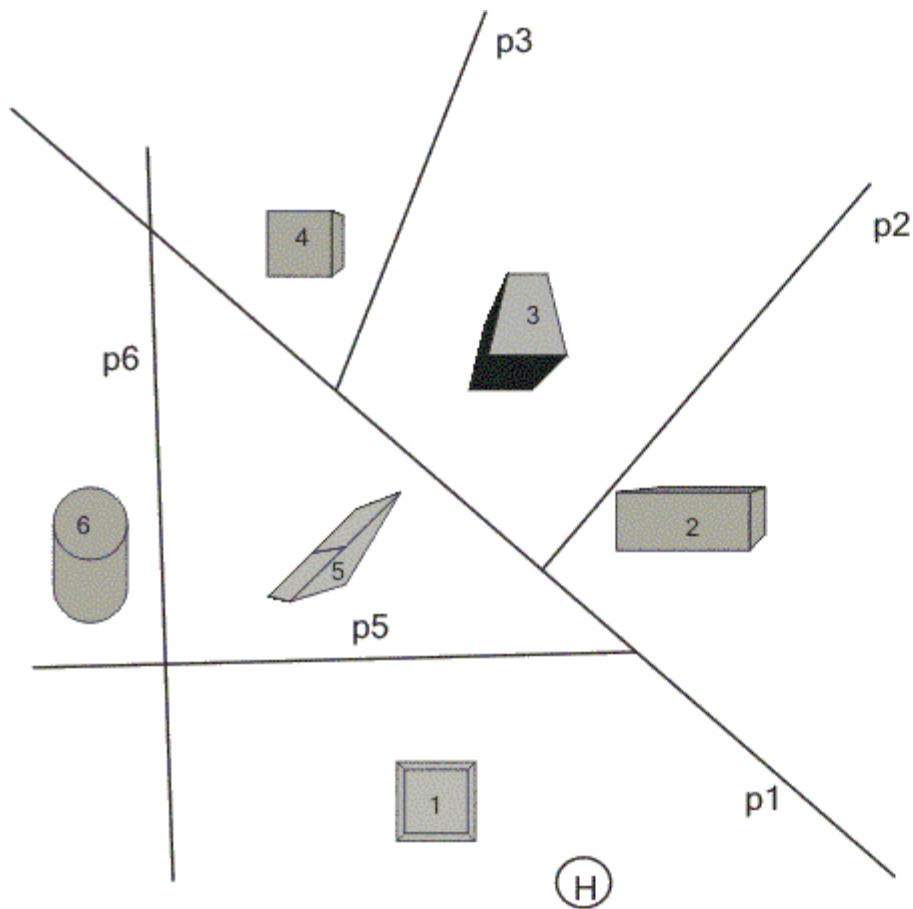
Алгоритмы 2D

- Построчного сканирования (1967)
- Варнока (1969)
- Трассировки лучей (1968)
- Плавающего горизонта (1972)
- «Художника» + Ньюэла (1972)
- Z-буфера (1974)
- A-буфера (1984)

BSP-деревья

- *BSP-деревья* были впервые применены специалистами компании [LucasArts](#) в начале 80-х годов
- Популярность у разработчиков они завоевали благодаря компании [id Software](#), разработавшей движки [Doom \(1993\)](#) и [Quake \(1996\)](#)

Метод двоичного разбиения пространства binary space partitioning



Метод двоичного разбиения пространства

Рисуем дерево (T) :

Если наблюдатель находится в положительной полуплоскости, то:

Если правое поддерево TR не пусто, рисуем дерево (TR).

Рисуем корневую грань.

Если левое поддерево TL не пусто, рисуем дерево (TL).

Иначе

Если левое поддерево TL не пусто, рисуем дерево (TL).

Рисуем корневую грань.

Если правое поддерево TR не пусто, рисуем дерево (TR).

Классификация алгоритмов

Алгоритмы 3D

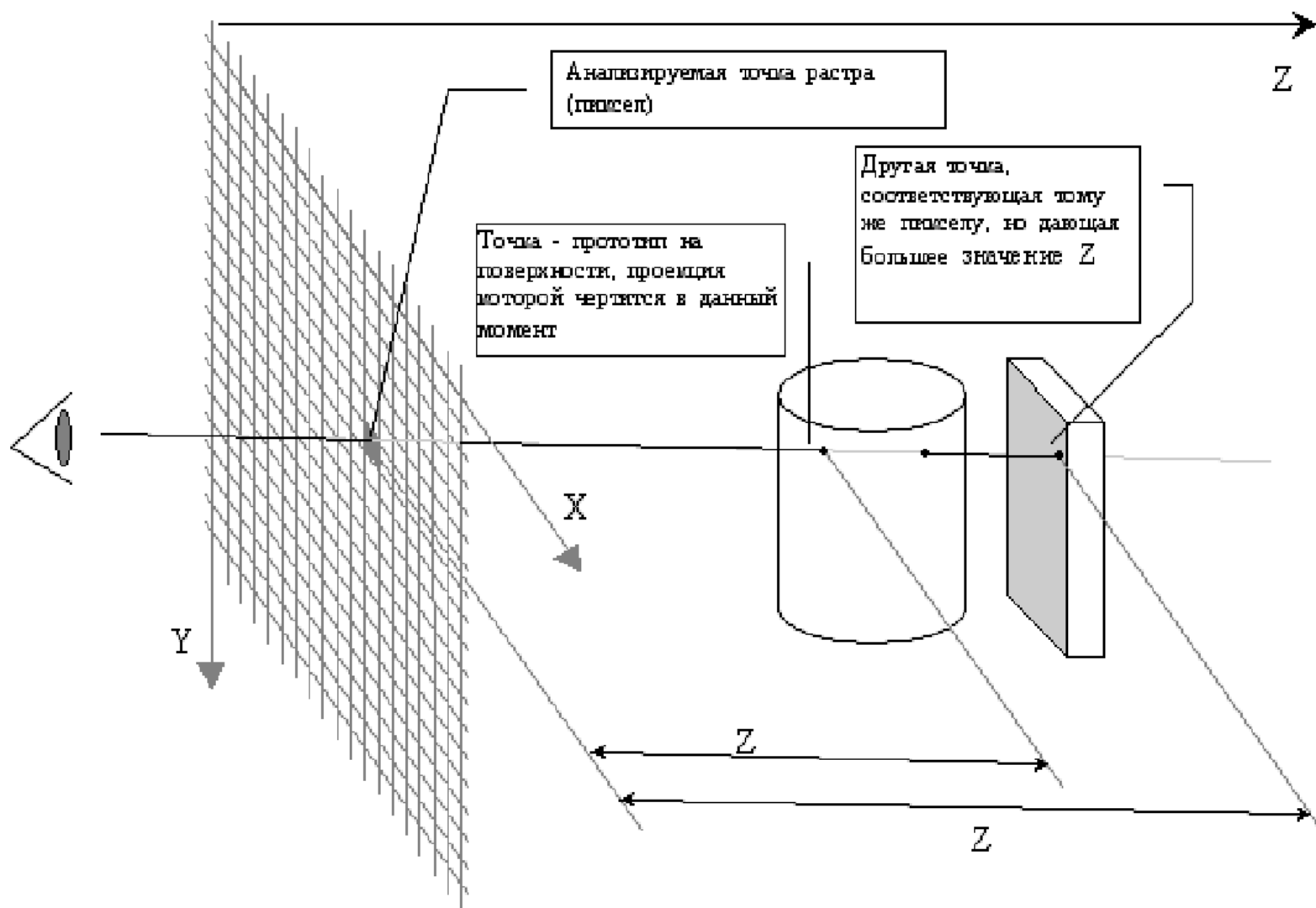
- Робертса (1963)
- Алгоритм Аппеля (1967)
- Вейлера-Айзертонна (1977)
- BSP-деревьев (1969-91)

Алгоритмы 2D

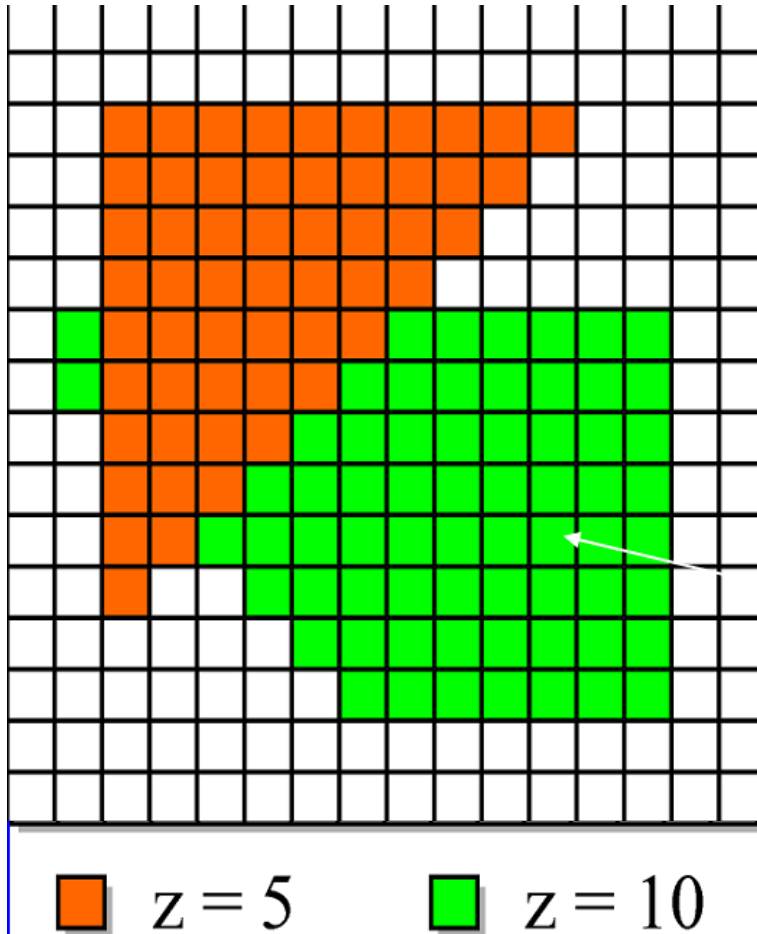
- Построчного сканирования (1967)
- Варнока (1969)
- Трассировки лучей (1968)
- Плавающего горизонта (1972)
- «Художника» + Ньюэла (1972)
- Z-буфера (1974)
- A-буфера (1984)

Метод z-буфера

- Эд Кэтмул 1974



Метод z-буфера



Изначально, буфер
инициализируется значением

$$z = z_{\max}$$

for each pixel in polygon:

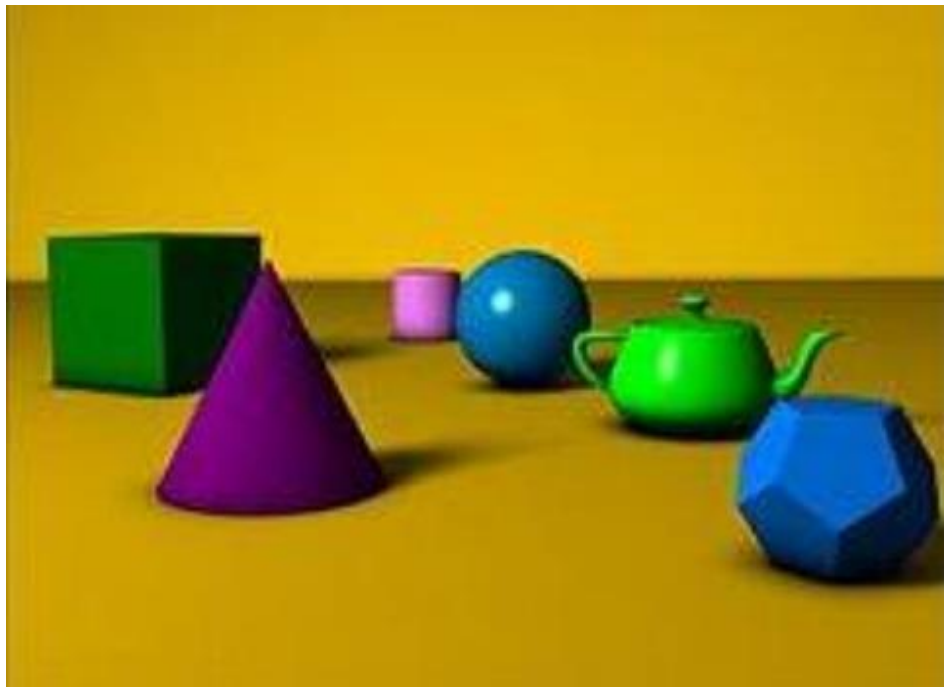
if (pixel $z <$ buffer z) then

buffer $z =$ pixel z

fill pixel in raster

Метод z-буфера

- Буфер кадра размером $512 \times 512 \times 24$ бит в комбинации с z-буфером размером $512 \times 512 \times 20$ бит требует почти 1.5 мегабайт памяти.



Формальное описание алгоритма z-буфера

- заполнить буфер кадра фоновым значением интенсивности или цвета
- заполнить z-буфер максимальным значением Z
- преобразовать каждый многоугольник в растровую форму в произвольном порядке;
- для каждого пиксела (x, y) в многоугольнике вычислить его глубину $z(x, y)$
- сравнить глубину $z(x, y)$ со значением Z буфер (x, y) , хранящимся в z -буфере в этой же позиции
- если $z(x, y) < Z$ буфер (x, y) , то записать атрибут этого многоугольника (интенсивность, цвет и т. п.) в буфер кадра и заменить Z буфер (x, y) на $z(x, y)$
- в противном случае никаких действий не производить
- в качестве предварительного шага там, где это целесообразно, применяется удаление нелицевых граней

Почему z-буфер так популярен?

- Прост в реализации на «железе»
- Память для z-буфера уже не дорогая
- Разнородность используемых примитивов – не ограничиваемся только полигонами
- Нелимитированная возможная сложность сцены
- Отсутствие необходимости вычисления пересечений объектов сцены друг с другом

Недостатки z-буфера

- Дополнительная память и дополнительные требования к каналу передачи данных (полосе пропускания)
- Напрасная трата времени на отрисовку невидимых объектов
- Недостаток точности Z- координат

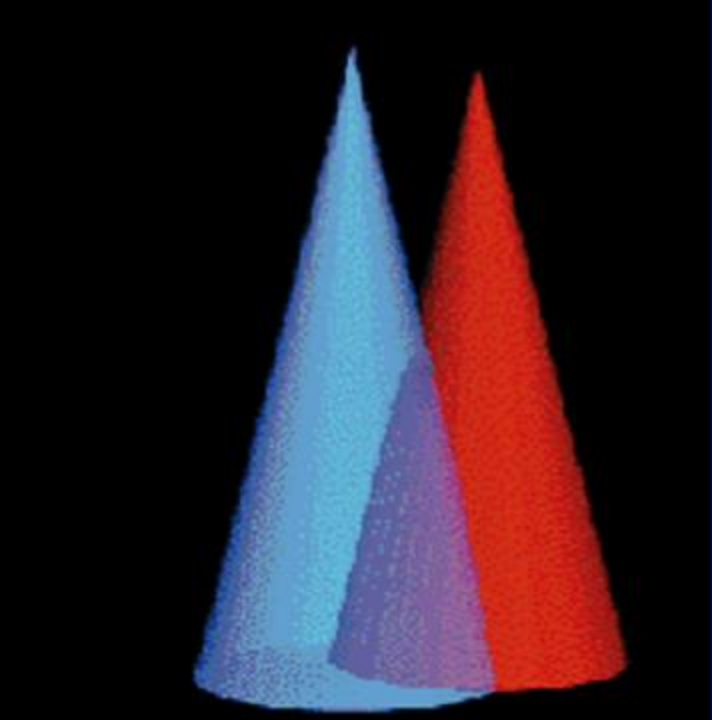
Классификация алгоритмов

Алгоритмы 3D

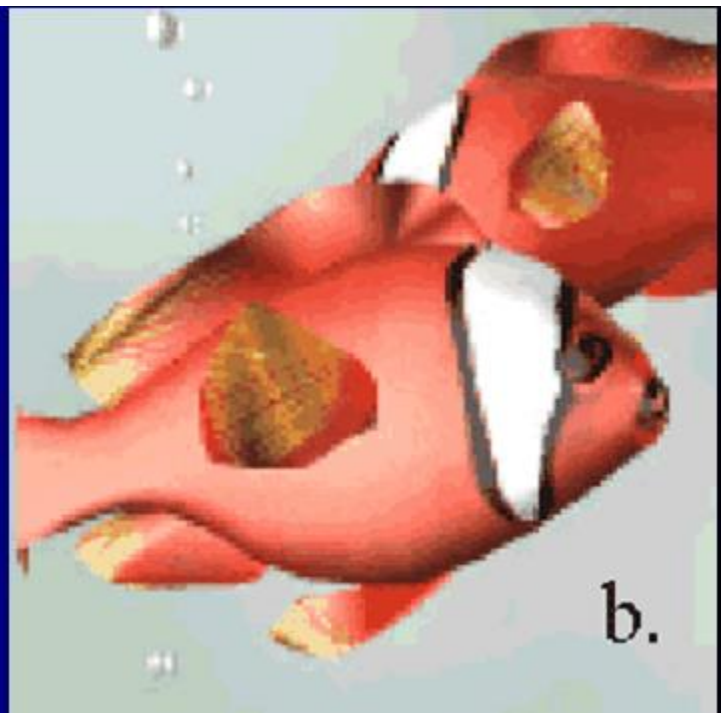
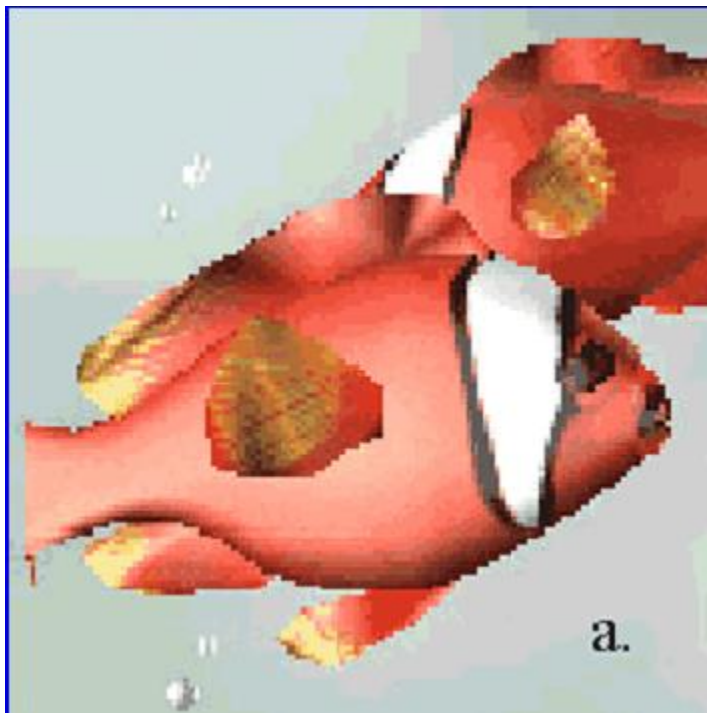
- Робертса (1963)
- Алгоритм Аппеля (1967)
- Вейлера-Айзертонна (1977)
- BSP-деревьев (1969-91)

Алгоритмы 2D

- Построчного сканирования (1967)
- Варнока (1969)
- Трассировки лучей (1968)
- Плавающего горизонта (1972)
- «Художника» + Ньюэла (1972)
- Z-буфера (1974)
- A-буфера (1984)

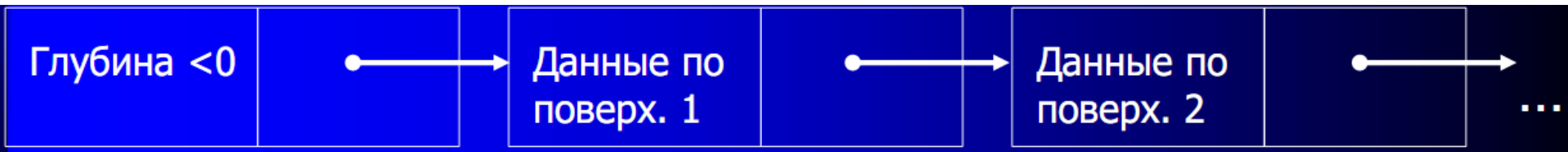


Алгоритм А-буфера



Алгоритм A-буфера

- Область буфера в алгоритме называется буфером накопления, так как в ней в дополнение к значениям глубин хранятся различные данные о поверхности



Алгоритм A-буфера

Данные по поверхности включают следующие поля:

- значения интенсивностей RGB-компонентов
- параметр непрозрачности (процент прозрачности)
- глубина
- процент охвата площади
- идентификатор поверхности
- другие параметры, требуемые для визуализации поверхности.

Классификация алгоритмов

Алгоритмы 3D

- Робертса (1963)
- Алгоритм Аппеля (1967)
- Вейлера-Айзертсона (1977)
- BSP-деревьев (1969-91)

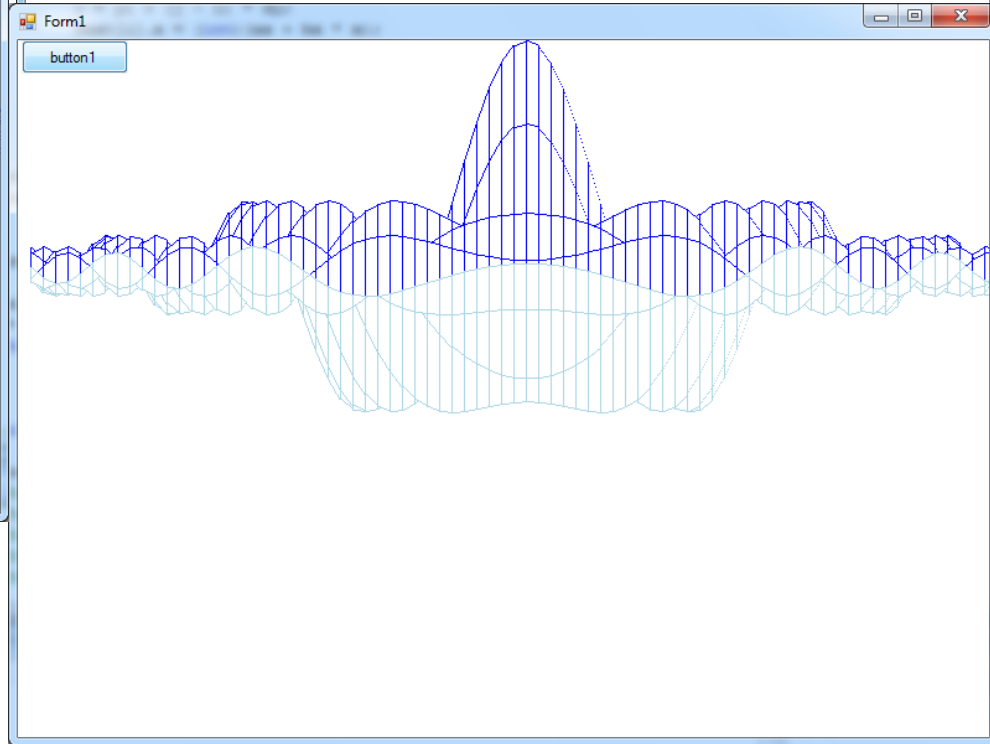
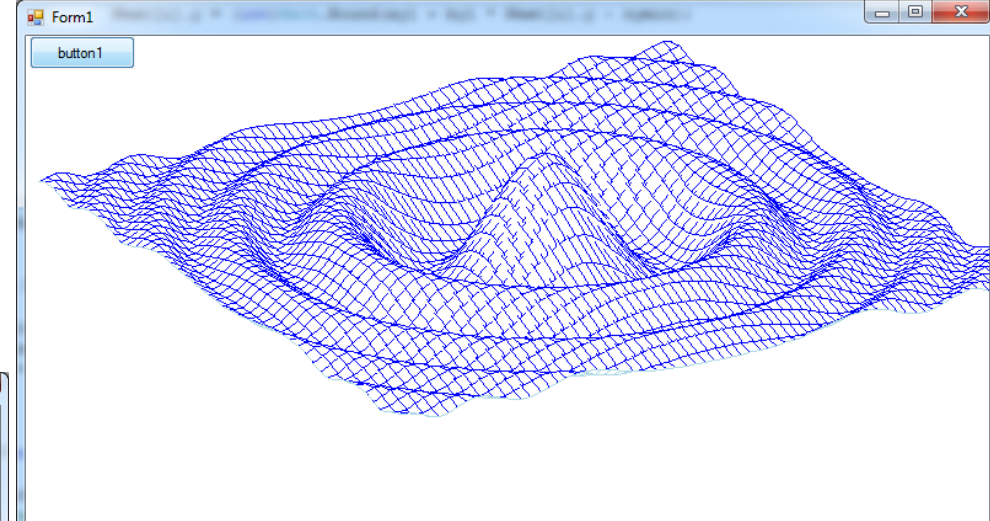
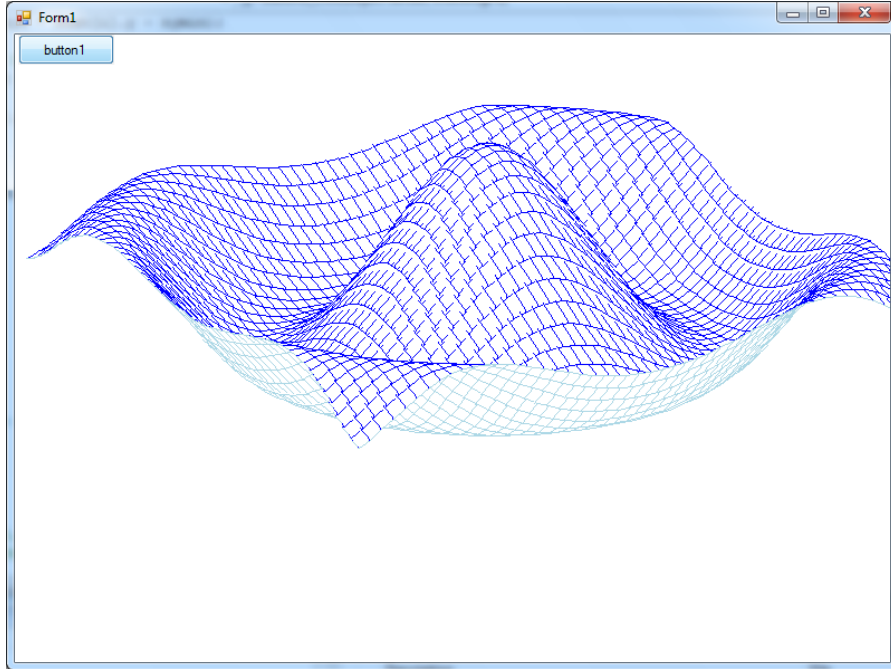
Алгоритмы 2D

- Построчного сканирования (1967)
- Варнока (1969)
- Трассировки лучей (1968)
- Плавающего горизонта (1972)
- «Художника» + Ньюэла (1972)
- Z-буфера (1974)
- A-буфера (1984)

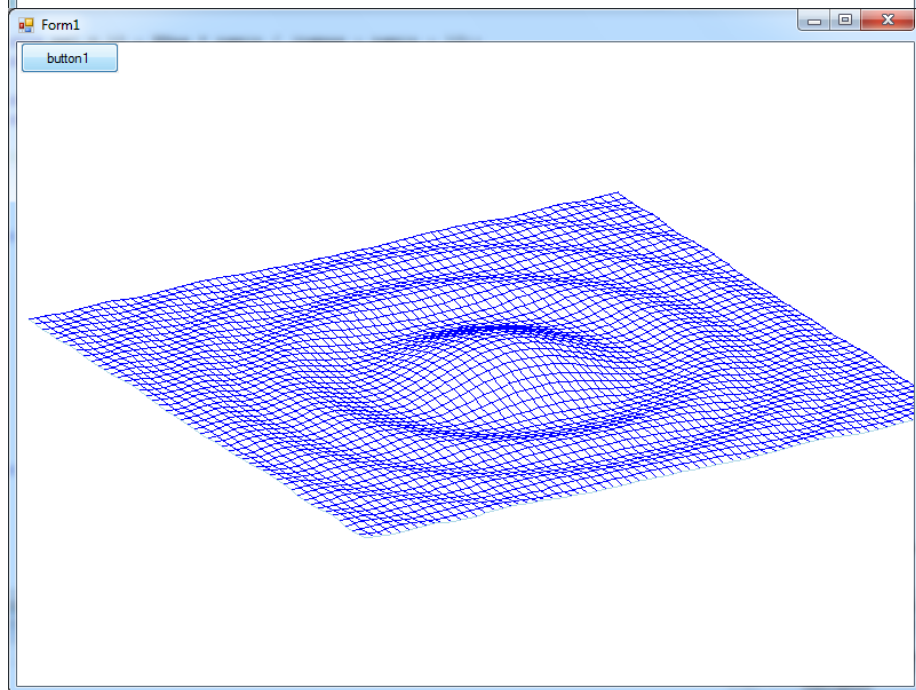
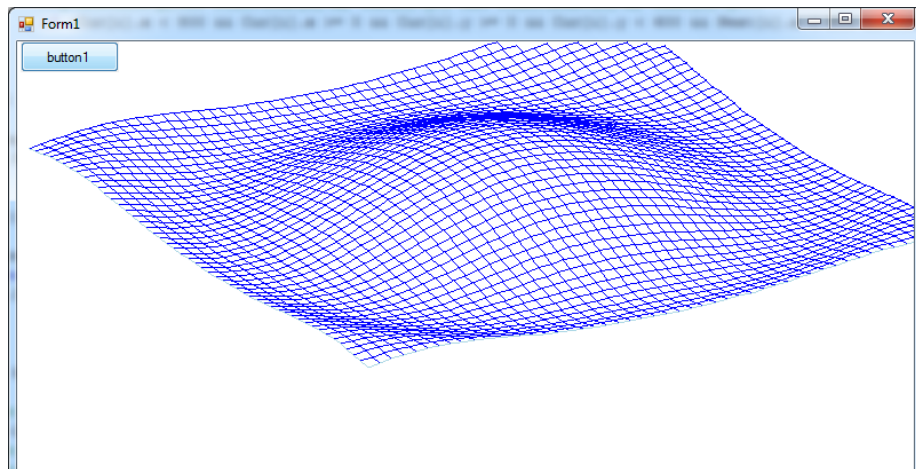
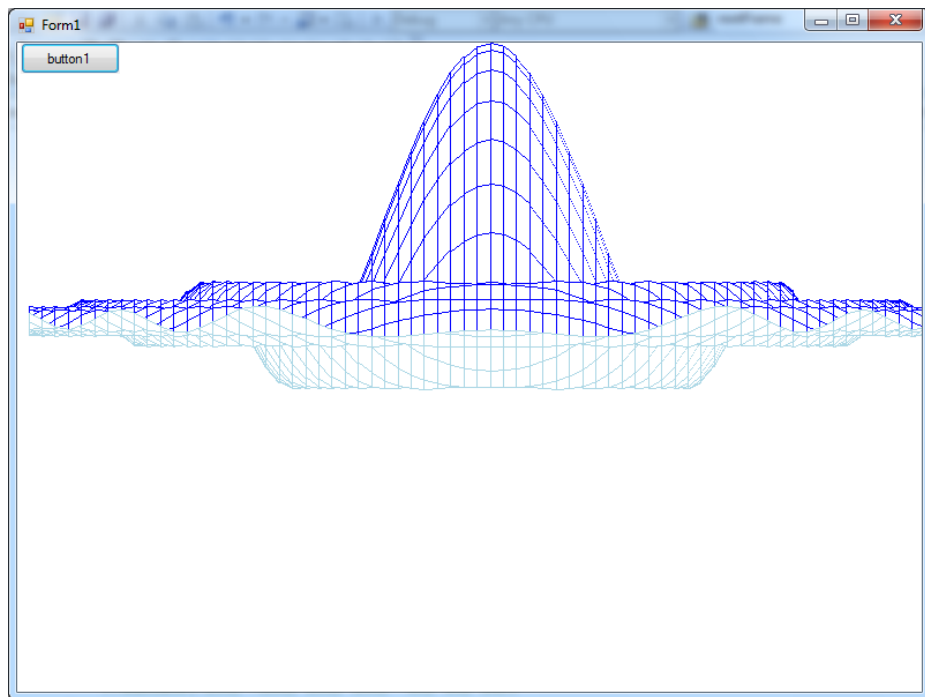
Графики функций $f(x,y)$

Алгоритм плавающего горизонта

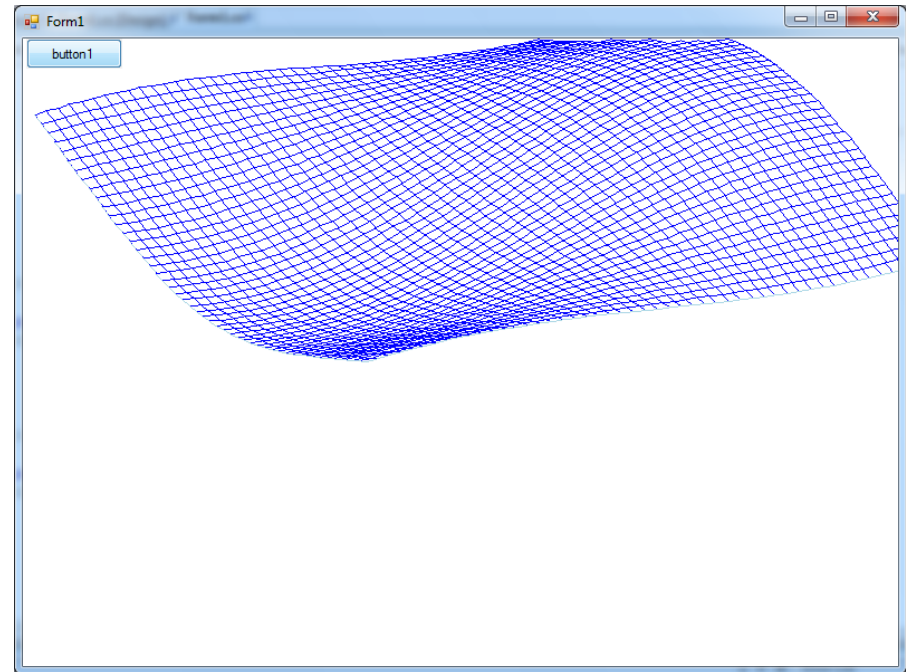
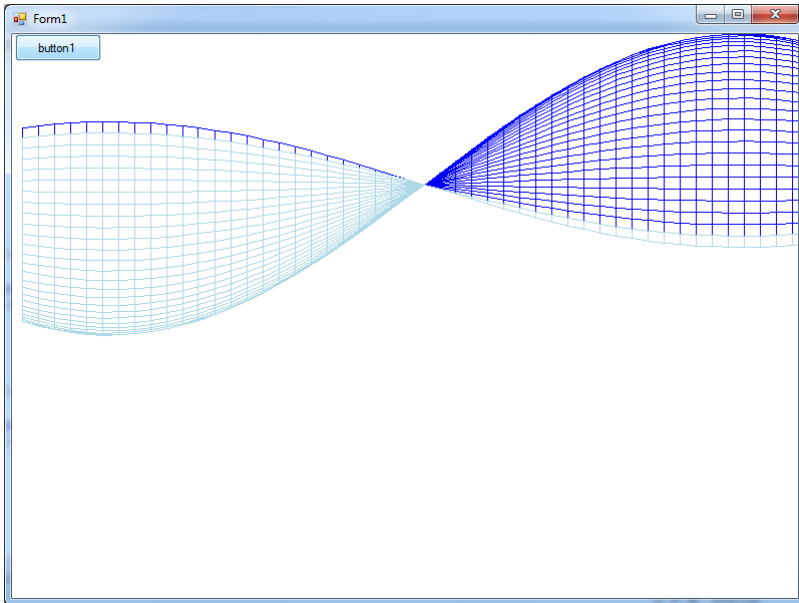
```
double r = x * x + y * y + 1;  
return 5 * (Math.Cos(r) / r + 0.1);
```



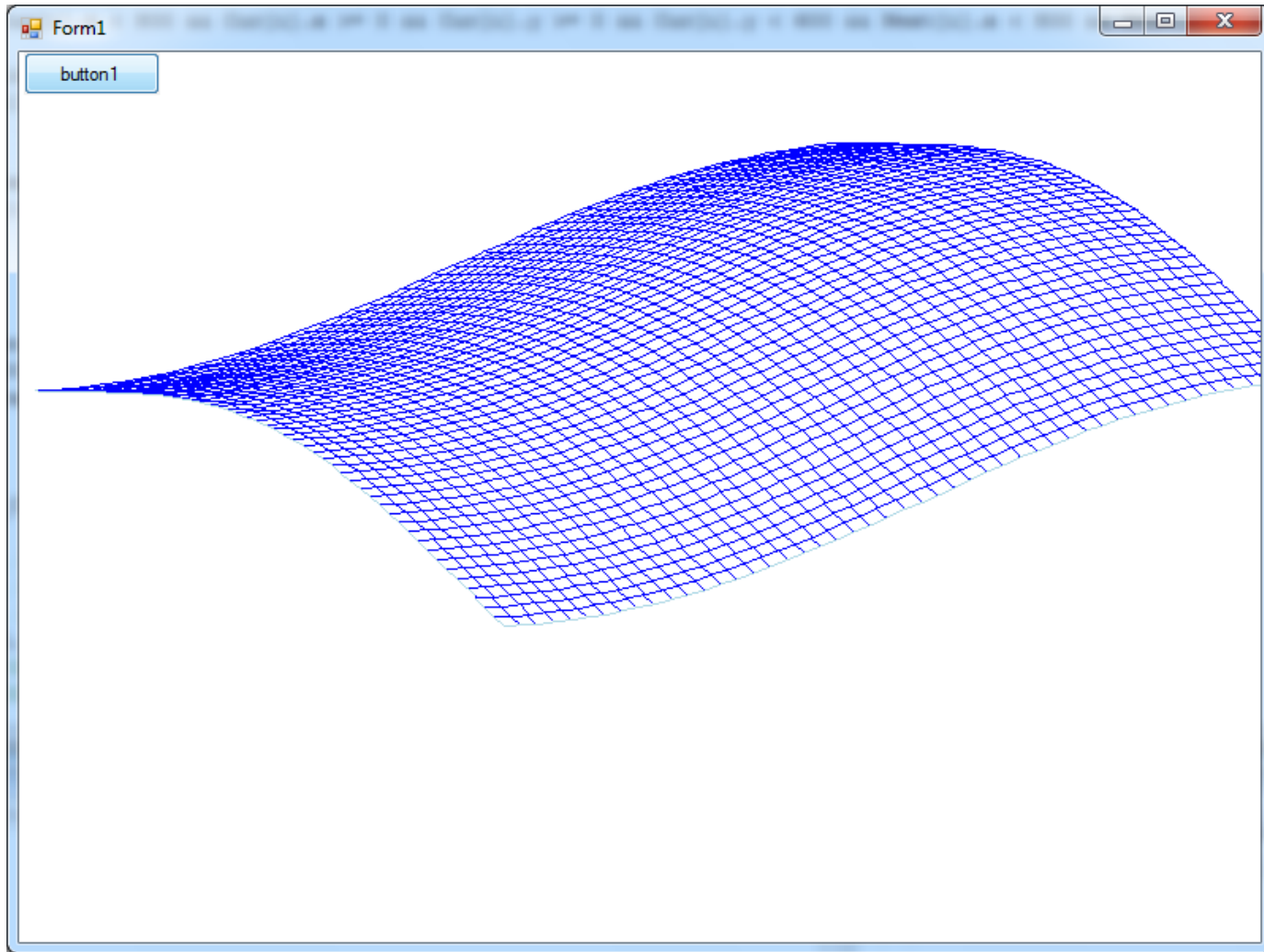
```
double r = x * x + y * y;  
return Math.Cos(r) / (r+1);
```



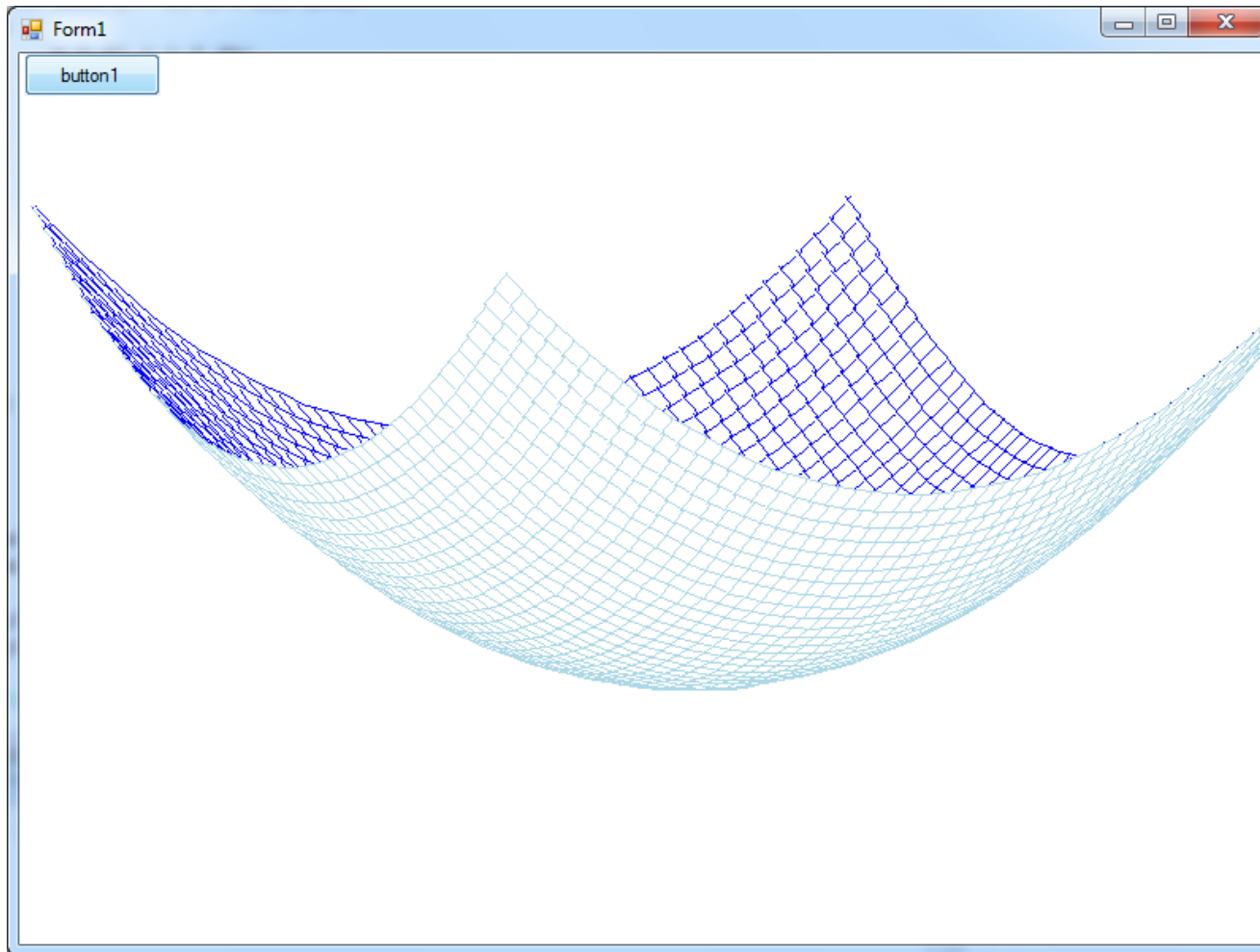
```
return Math.Sin(x) * Math.Cos(y);
```



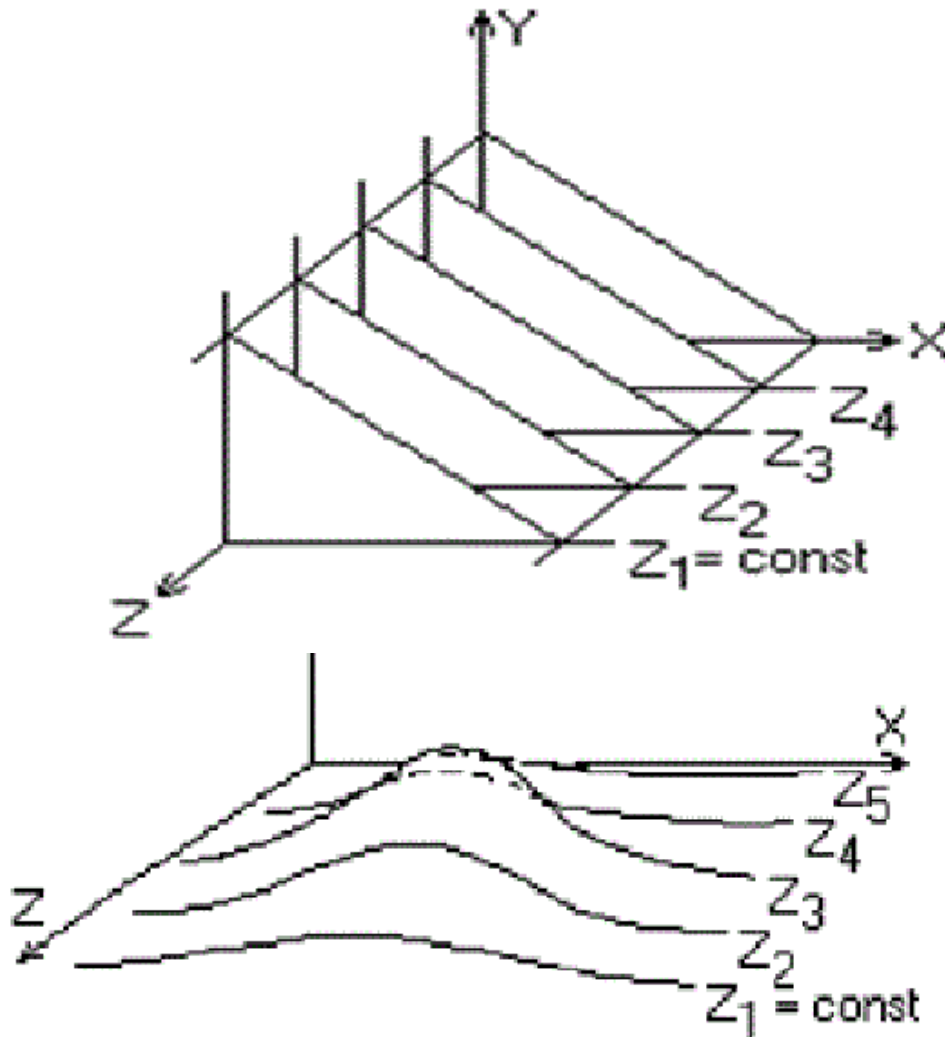
```
return Math.Sin(x)+Math.Cos(y);
```




```
return (x * x + y * y);
```



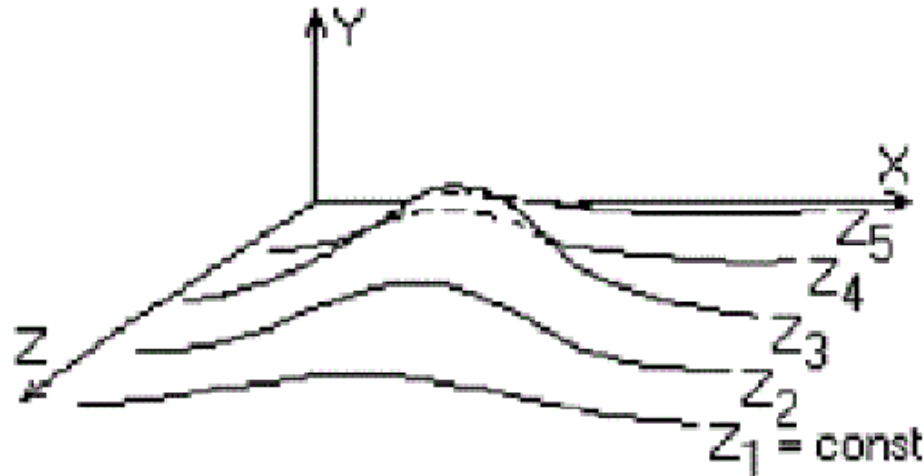
Алгоритм плавающего горизонта



Главная идея данного алгоритма заключается в сведении трёхмерной задачи к двумерной путем пересечения исходной поверхности последовательностью параллельных секущих плоскостей, имеющих постоянные значения координат x , y или z .

Алгоритм плавающего горизонта

Функция $F(x, y, z) = 0$ сводится к последовательности кривых, лежащих в каждой из этих параллельных плоскостей, например, последовательности $y = f(x, z)$ или $x = g(y, z)$, где z постоянна на каждой из заданных параллельных плоскостей.



Для хранения максимальных значений y для каждого значения x используется массив, длина которого равна числу различных точек (пикселей) по оси x .

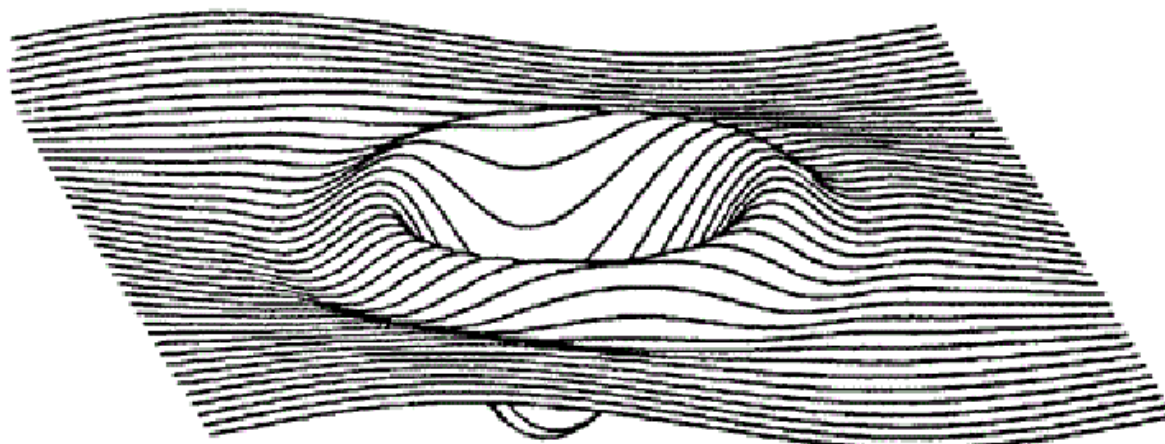
Линии горизонта или контурные линии

$Y = f_k(X)$ – проекция $y = f(x, z_k)$ на картинную плоскость,
где (X, Y) – координаты на картинной плоскости.

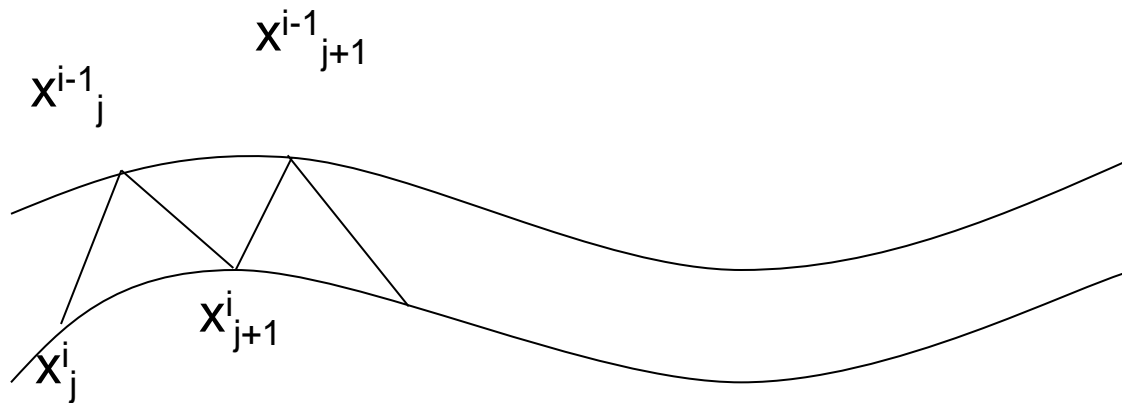
Контурные линии $Y_{\max}^k(X)$ и $Y_{\min}^k(X)$ определяются следующими соотношениями:

$$Y_{\max}^k(X) = \max Y_i(X)$$

$$Y_{\min}^k(X) = \min Y_i(X)$$



Вывод сеткой



Растровая реализация



Однако если для каждого значения x нельзя указать (вычислить) соответствующее ему значение y , то в таком случае используется линейная интерполяция значений y между известными значениями

Формальная запись алгоритма

- Если на текущей плоскости при некотором заданном значении x соответствующее значение y на кривой больше максимума или меньше минимума по y для всех предыдущих кривых при этом x , то текущая кривая видима. В противном случае она невидима.
- Если на участке от предыдущего x_n до текущего x_{n+k} значения x видимость кривой изменяется, то вычисляется точка пересечения x_i . Или можно использовать алгоритм Брезенхема
- Если на участке от x_n до x_{n+k} сегмент кривой полностью видим, то он изображается целиком; если он стал невидимым, то изображается фрагмент от x_n до x_i ; если же он стал видимым, то изображается фрагмент от x_i до x_{n+k} .
- Заполнить массивы верхнего и нижнего плавающих горизонтов.